

# 連結・免震による墓石の耐震性向上効果の実験的検証

# 清野純史<sup>1</sup>・三輪滋<sup>2</sup>・古川愛子<sup>3</sup>

「博(工) 京都大学准教授 工学研究科都市社会工学専攻(〒615-8540 京都市西京区京都大学桂)

E-mail: kiyono@quake.kuciv.kyoto-u.ac.jp

<sup>2</sup>博(工) 飛島建設株式会社 防災 R&D センター技術研究所 (〒270-0222 千葉県野田市木間ヶ瀬 5472)

E-mail: Shigeru Miwa@tobishima.co.jp

3博(工) 九州大学助教 工学研究院建設デザイン部門 (〒819-0395 福岡市西区元岡 744 番地)

E-mail: furukawa@doc.kyushu-u.ac.jp

地震時の墓石の転倒現象については,実験と解析の両面から多くの研究が行われているが,耐震補強された墓石の地震時挙動や補強効果について検証を行った研究は見当たらない.本研究では,墓石の代表的な耐震補強工法の効果を検証することを目的として,墓石の実寸大模型を用いた振動台実験を実施した.現在多く採用されている耐震補強工法の中から,連結工法と免震工法に着目した.連結工法の中からダボ工法と長ボルト工法,免震工法の中から免震金具工法,免震ゴム工法,エアーダンパー工法を採用した.デジタルカメラで撮影された画像と墓石試験体の加速度記録から,各補強工法の効果と問題点について検討・考察を行った.連結工法である長ボルト工法と免震工法である免震金具工法の効果が確認できた.

**Key Words:** gravestone, interlocking reinforcement, seismic isolation system, seismic performance, shake table test

#### 1.はじめに

我が国の墓石は単に石を積んでいるだけの簡単な 構造のものが多く,特別に補強を施しているもので 無い限り,地震が起こると転倒しやすい.2004年の 新潟県中越地震での墓石の被害は甚大なものであり, 2005年の福岡県西方沖地震では転倒した墓石の下敷 きになってけがをした人がいた.このように,地震 による墓石の転倒は,単に墓石の破損・損壊という 物的被害に収まらず,人的被害にもつながる非常に 深刻な問題である.それにも関わらず,未だに多く の既存墓石が地震に対して無対策のままで放置され ている.最近では,墓地が緊急避難場所に指定され ている場合もあるため,二次災害を防止する意味で も墓石の耐震性の検討は重要課題である.地震に強 い墓石の構造及び補強方法について検討することは 非常に重要であると考えられる.

地震時の剛体および墓石の転倒現象については,過去に数多くの研究が行われている。金子ら1)は,剛体の幅と高さの比が転倒率に与える影響が大きく,寸法の影響はあまり大きくないこと,剛体の転倒率は,低振動数が卓越する地震動の場合は最大加速度との相関が大きく,高振動数が卓越する地震動の場合は最大速度との相関が大きいことを明らかにしている。また筆者ら2)は,個別要素法を用いた検討により,和型墓石と洋型墓石の転倒メカニズムの違い

を明らかにしている.他に,地震後の墓石の転倒率から地震動強さを推定している研究もある<sup>3)</sup>.

墓石がロッキング運動により転倒を起こさなくても,移動量が大きく下の石から落下するケースもあるため,地震動と墓石の移動量に関する検討も重要である.山本ら<sup>4)</sup>は,正弦波入力による無補強墓石の振動台実験により,入力の振動数と墓石の移動量には線形関係が認められ,振動数の増加に伴い移動量も増加することを示している.

このように、剛体単体や無補強墓石の地震時挙動については、実験と解析の両面から多くの研究が行われているが、現状では、耐震補強された墓石の地震時挙動や各種補強工法の効果について検証を行った研究は見当たらない、最近では墓石の耐震補強に関する意識が徐々に高まりつつあり、様々な耐震補強工法が提案され、実用化されてきている、補強された墓石の地震時挙動は、剛体単体の地震時挙動のように単純ではなく、振動台実験によって補強効果を検証する必要があると考えられる。

以上を鑑み,本研究では,各種耐震対策の効果を 検証することを目的として,墓石の実寸大模型を用 いた振動台実験を実施した.現在多く採用されてい る墓石の耐震工法の中から,連結工法と免震工法に 着目した.比較のため,無補強墓石についても実験 を行った.デジタルカメラで撮影された画像と墓石 試験体の加速度記録から,各種補強工法の効果と問 題点について検討・考察を行った.

# 2. 墓石の補強工法と試験体の概要

# (1) 無補強墓石の試験体概要

和型墓石と洋型墓石の中から代表的な形状を選択 することとし,東京周辺で多用されているものを用 いた.

無補強の和型墓石の試験体の概観を図-1(a)に示す.一番上の石から,棹石,上台,中台,芝台と呼ばれる.芝台上には前面に水鉢を置くため,中台は後方に下げて配置する.棹石,上台,中台の重心の位置が一直線上に載るよう,棹石と上台は左右対称に配置する.

無補強の洋型墓石の試験体の概観を図-1(b)に示す. 一番上の石から,棹石,上台,芝台と呼ばれる.各 石を全て左右対称に配置するが,前後は非対称である.棹石の前面にはテーパーがあり,天端は2寸(6.1cm)細くなる.棹石の下には切り込みがある.

和型・洋型墓石の各石の質量を表-1 に示す.

# (2) 連結による墓石の耐震補強工法 5) と試験体概要 a) ダボエ法

ダボ工法とは、棹石の下面と上台の上面に穴を空け、この穴にステンレスの丸棒を通すことにより、棹石と上台とを連結する補強工法である.丸鋼は、モルタルや接着剤で固着させてはおらず、ただ石材の穴に挿しただけで無接着である.上台 - 中台間,中台 - 芝台間は全く補強されない.現在多く使用されている工法である.

試験体の概観を図-2 に示す. 棹石と上台に開けた 穴は,和型墓石では中心に 1 箇所,洋型墓石では 2 箇所である. 穴の寸法は直径 21mm,深さ 210m で ある. そこに通すステンレスの丸鋼は,直径 18mm, 長さ 400mm である.

#### b)長ボルト工法

長ボルト工法とは,和型墓石に用いられ,長ボルトが芝台から棹石までを貫き,ターンバックルで締め付けることで墓石を一体化する工法である.

試験体の概観を図-3(a)に示す.棹石と芝台の中心に,長ボルトを設置し,棹石に付けた長ボルトが上台を貫通し,コの字型の中台のところでターンバックルにより芝台の長ボルトと固定される.

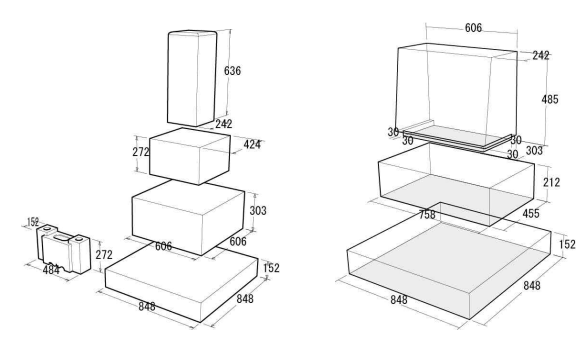
# (3)免震による墓石の耐震補強工法 5)と試験体概要免震による補強工法は主に和型に用いられることから,試験体は全て和型とした.

# a)免震金具工法

免震金具工法とは,エネルギー吸収機能を有する特殊な金具を用いて石材間を連結する工法である. 棹石 - 上台間,上台 - 中台間,中台 - 芝台間をそれぞれ1組の金具で連結する.水鉢も固定される.墓石間を剛に結合するのではなく,自由度のある金具で連結される.試験体の概観を図-3(b)に示す.

表-1 各石の質量(単位:kg)

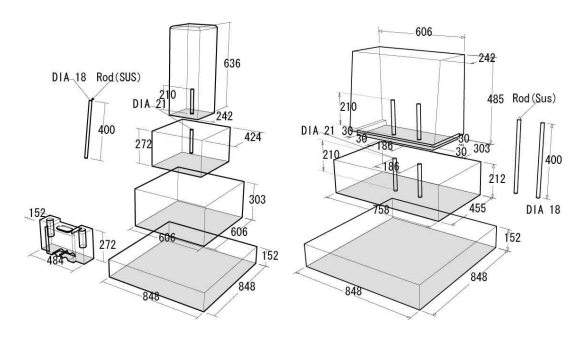
試験体(工法名)	棹石	上台	中台	水鉢	芝台	総質量
和型(長ボルト工法以外)	104	130.5	298.8	45.9		1194.2
無補強(洋型)	2111	197.8		Ī		1000
ダボエ法(洋型)	211.1	130.5			315	1023.9
長ボルト工法(和型)	98.9	134.6	226.4	45.9		1050.5



(a)和型墓石

(b)洋型墓石

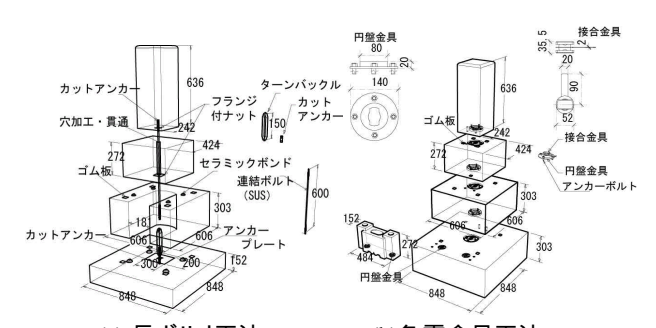
図-1 無補強墓石(単位 mm)



(a)和型墓石

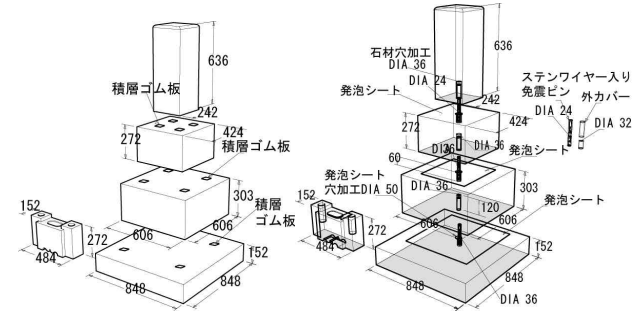
(b)洋型墓石

図-2 ダボ工法により補強された墓石(単位 mm)



(a) 長ボル 上工法

(b)免震金具工法



(c) 免震ゴム工法

(d) エアーダンパー工法

図-3 補強された和型墓石(単位 mm)

#### b)免震ゴム工法

免震ゴム工法は,各接合部(棹石-上台間,上台 - 中台間, 中台 - 芝台間) にゴムを置くだけであり, 接着はしない. 建築物に採用されている積層ゴムよ りも,反発力を軽減して設計されている.ゴムの剛 性は計測していない.試験体の概観を図-3(c)に示す. 各石材間に 10cm 角で厚さが 2mm のゴムを 4 箇所, 計 12 枚設置した.

# c)エアーダンパー工法

エアーダンパー工法とは,2 重構造の筒状冶具(穴の 直径 32mm)の中に,ダンパー機能を有するステンレ ス製のワイヤー(直径 18mm, 長さ 160mm)を挿入し たものを, 各接合部(棹石-上台間, 上台-中台間, 中台 - 芝台間)に接着し,更に各石材間に 3mm の発 泡シートを挟み置いて,墓石を一体化・免震化する工 法である.試験体の概観を図-3(d)に示す.

# 3. 実寸大模型を用いた墓石の振動台実験

#### (1) 試験体の設置方法

試験体は,和型6モデル,洋型2モデルの計8墓 石である.試験体は,振動台の中央に設置した.棹 石が振動で転落することを防ぐため、棹石上につり 金具を儲け, 天井クレーンからワイヤで吊った. 図-4 に各試験体の入力地震動の方向を示す. 棹石 の頂角部3箇所には加速度計を設置し,それぞれの 位置を"北", "南", "東"と名づけた. 図-4に各加速度 計の設置位置を併せて示す.

#### (2) 入力波形

本研究では,建築・土木構造物のみならず,数多 くの墓石にも甚大な被害を与えた 1995 年兵庫県南 部地震の波形を基本入力波形として用いた .

実地震動記録を用いた場合には,スペクトル特性 に凹凸がある、墓石の各石には固有振動数に違いが あるため、できるだけフラットな振動特性を有する 地震動のほうが耐震性を評価しやすい.そこで,設 計に用いられる加速度応答スペクトル 6と兵庫県南 部地震の神戸海洋気象台の記録の位相特性を用いて 模擬地震動を作成した.振動台実験では3次元の地 震動を用いる必要があるが、水平・上下双方のスペ クトルを規定している設計法はあまりない.NTT の通信機器耐震性検討用のスペクトル 7)は水平上下 成分を分けて規定している.この上下成分のスペク トルをターゲットスペクトルとし兵庫県南部地震の 記録の位相を用いて模擬地震動を作成した、作成し た地震動とその加速度応答スペクトルを図-5に示す. 凹凸がなく, またスペクトルの強さも周期 1 秒以下 では大きい.

水平動と上下動を異なる指針から作成したが,道 路橋示方書と NTT の水平動の応答スペクトルは形 状も値も比較的近いことから,水平動と上下動の

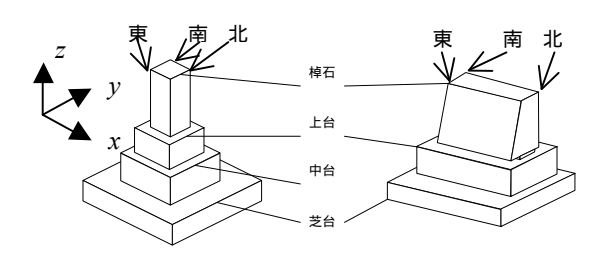
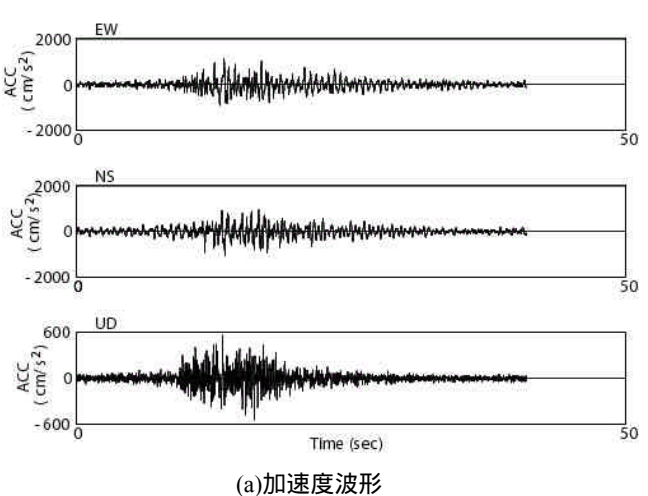
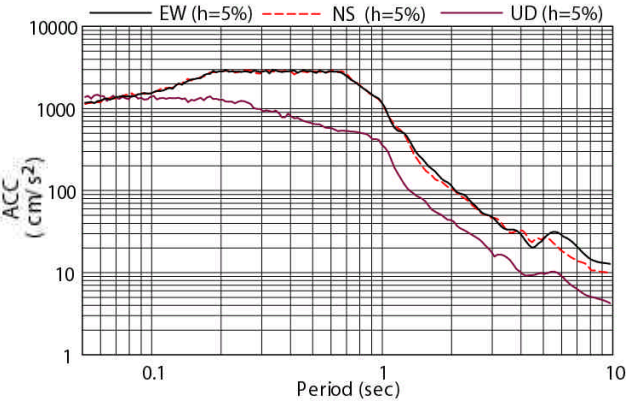


図-4 墓石試験体の設置方向と加速度計の設置箇所



NS (h=5%)



(b)加速度応答スペクトル

図-5 模擬地震動の加速度波形と加速度応答スペクトル

表-2 各震度に対する入力波の最大加速度(cm/s<sup>2</sup>)

夏度 7
1170
1049
733

組み合わせは適切であると判断した. 作成した3方 向の加速度波形に対し,3方向同一の比例係数によ り振幅調整し,震度6弱(計測震度5.84)・震度6 強(計測震度 6.26)・震度 7(計測震度 6.56)の地 震動を作成した. 作成した加速度時刻歴波形の最大 加速度を表-2 に示す. なお, EW, NS, UD 方向を それぞれ,図-4に示すx,y,z方向とした.

表-3 試験体の転倒状況

試験体	震度6弱	震度6強	震度 7
無補強(和型)		×	×
無補強(洋型)			×
ダボ工法(和型)			×
ダボ工法(洋型)			
長ボルト工法			
免震金具工法			
免震ゴム工法	×	-	-
エアーダンパー工法		-	-

:変化無, :変位・ずれが生じる, x:転倒, -:実験せず

# 4.振動台実験結果

#### (1) 各試験体の転倒状況

各試験体の転倒状況を表-3 示す.

和型墓石に関して,無補強の墓石は震度 6 弱で変位・ずれを生じ,震度 6 強以上で転倒した.ダボエ法は,震度 6 強では滑ったものの転倒はしないが,震度 7 では転倒してしまい,効果が低いことがわかった.長ボルト工法と免震金具工法を施した場合は,震度 7 でも転倒せず,残留変位も生じず,耐震効果が確認された.免震ゴム工法を用いた場合は,無補強墓石より激しく運動し,震度 6 弱で倒壊に至った.エアーダンパー工法は,震度 6 弱で免震ゴム工法とエアーダンパー工法の効果が確認できなかったため,震度 6 強,7 の加振は行わなかった.

洋型墓石に関して,無補強の墓石は震度 6 弱,6 強で変位・ずれを生じ震度 7 で転倒に至るが,ダボ 工法を施すことによって震度 7 でも転倒しない.し かし滑りは生じており効果は小さいことがわかった.

#### (2) 各試験体の地震時挙動

実験時,デジタルカメラの動画機能を用いて墓石挙動の撮影を行った.画像から各種補強工法の効果を明らかにする.

#### a)無補強墓石(和型)

図-6 に震度 6 弱 , 6 強 , 7 加振後の墓石の状況を示す.震度 6 弱において棹石が大きなロッキング運動を起こしながら大きく移動した(図-6(a)).震度 6 強では,激しくロッキングを起こし棹石および水鉢が転倒に至った(図-6(b)).震度 7 では,更に一層ロッキングの激しさが増し 15 秒後に棹石が転倒した(図-6(c)).いずれも,慣性力による転倒モーメントが,自重による抵抗モーメントに打ち勝って,転倒を起こしたものと考えられる.

棹石は高さ 636mm,幅 242mm であるので,地震の慣性力と自重によるモーメントの釣合式から求まる静的転倒加速度は 372gal である.しかし,最大加速度が 500gal 超の震度 6 弱の地震動では転倒に至らず,静的な釣合式では評価できないことが分かる.b)無補強墓石(洋型)

図-7 に震度 6 弱 , 6 強 , 7 加振後の墓石の状況を示す.震度 6 弱 , 6 強では棹石・上台が水平面内で回転を生じた(図-7(a),(b)).震度 7 では,棹石が上台の上で大きく滑り,20 秒後に棹石が上台から落下した(図-7(c)).衝突時に石が破損し,破片が飛散した.洋型墓石は幅高さ比が和型に比べて小さいため,ロッキングに対する抵抗力が大きい.よって震度 7 では,和型が転倒した 15 秒後でも棹石は転倒に至ることはなく上台の上で滑り続け,20 秒後に上台から滑り落ちている.このように,洋型墓石の転倒メカニズムは,棹石が上台の上で過大な変位を生じることにより,棹石が上台から滑り落ちるというものである.

#### c)ダボエ法(和型)

図-8 に震度 6 弱 , 6 強 , 7 加振後の墓石の状況を示す.震度 6 弱・6 強では転倒はしなかったものの,棹石と上台が一体となって中台上で滑った(図-8(a)(b)).震度 7 では上台と棹石が一体となって中台から落下した(図-8(c)).ステンレス棒による棹石と上台の一体化により重心の位置が下がり,無補強墓石に比べて抵抗モーメントは増したが,震度 7 の大きな地震動に対しては抵抗できなかった.上台 - 中台間,中台 - 芝台間の補強も併せて行う必要があると考えられる.

#### d) ダボエ法(洋型)

図-9 に震度 6 弱 , 6 強 , 7 加振後の墓石の状況を示す.震度 6 弱において,棹石と上台が一体となって芝台の上で滑った(図-9(a)).震度 6 強では棹石・上台の変位が更に増した(図-9(b)).震度 7 では棹石・上台は芝台の端まで変位した(図-9(c)).主要動の継続時間がもう少し長かったり,地震動レベルでは、し大きければ,棹石・上台は和型墓石と同が手があることが予想される.震度 7 による上台・芝台間の衝突により石材の破損がおされた.ダボエ法を施した和型墓石と同様,大りによる上台・芝台間の衝突により石材の破損が認された.ダボエ法を施した和型墓石と同様,大りに至る危険性があるため,上台・芝台間の補強も併せて行う必要があると考えられる.

# e)長ボルト工法(和型)

図-10 に震度 6 弱,6 強,7 加振後の墓石の状況を示す.連結効果が発揮されどの震度においても棹石,上台,中台は全く動かず,補強効果が確認された. f)免震金具工法(和型)

図-11 に震度 6 弱 , 6 強 , 7 加振後の墓石の状況を示す . 免震金具は石材間を剛に結合するものではなく,あそびがあり運動をある程度許容する . 震度 6 弱では棹石がロッキング運動を起こしていた(図-11(a)) . 震度 6 強 , 7 では,棹石,上台がロッキング運動を起こし,中台が水平面内の回転運動を起こした . 特に棹石のロッキング運動は非常に激しかった .



(a)震度 6 弱加振後 (b)震度 6 強加振後 (c)震度 7 加振後 図-6 無補強墓石(和型)の実験結果



(a)震度 6 弱加振後 (b)震度 6 強加振後 (c)震度 7 加振後 図-7 無補強墓石(洋型)の実験結果



(a)震度 6 弱加振後 (b)震度 6 強加振後 (c)震度 7 加振後 図-8 ダボエ法(和型)の実験結果



(a)震度 6 弱加振後 (b)震度 6 強加振後 (c)震度 7 加振後 図-9 ダボエ法(洋型)の実験結果



(a) 震度 6 弱加振後 (b) 震度 6 強加振後 (c) 震度 7 加振後 図-10 長ボルト工法の実験結果



(a)震度 6 弱加振後 (b)震度 6 強加振後 (c)震度 7 加振後 図-11 免震金具工法の実験結果



(a) 震度 6 弱加振中 (b) 震度 6 弱加振後 図-12 免震ゴム工法



(a)震度 6 弱加振中 (b)震度 6 弱加振後 図-13 エアーダンパー工法

しかし,運動が発生しても補強部材が元に戻そうと働くため,いずれの震度においても残留変位はほとんど生じなかった(図-11(b)(c)).目だった損傷もなく補強効果が確認された.

# g)免震ゴム工法

無補強墓石でさえ転倒しなかった震度 6 弱において棹石が大きくロッキング運動 (図-12(a))を起こし転倒した(図-12(b)).衝撃の緩衝材としての補強材料のはずが,逆に運動を助長するばねのような働きをしていた.

# h)エアーダンパー工法

震度 6 弱加振中,棹石は大きくロッキング運動を起こし(図-13(a)),全体的に石材間のズレを生じた(図-13(b)).衝撃吸収効果を期待して設置した棹石 - 上台間の発泡シートが,期待した振動抑制効果とは逆に運動を大きくしており,またエアーダンパーは運動の抑制機能を発揮できていないようであった.

#### (3) 各試験体の最大加速度の比較

本項では、棹石の頂部で記録された加速度波形から最大加速度を求め、定量的に補強効果を検討する、表-4 に、各墓石の棹石に設置した加速度計で得られた最大加速度を示す、振動台上で計測した加速度波形の最大値も併せて示す。

#### a)無補強墓石(和型)

無補強の和型墓石(表-4(a))では,非常に大きな最大加速度が得られている.これは,棹石が上台と衝突したときや,落下したときの衝撃が含まれているためである.非常に大きな衝撃力である.実験でも石材の破損が確認されている.

#### b)無補強摹石(洋型)

無補強の洋型墓石(表-4(b))でも,墓石間の衝突・転倒の衝撃のため,非常に大きな最大加速度を示している.しかし,洋型墓石は棹石の高さが低く,和型よりは転倒しにくい形状をしているため,ロッキング運動は激しくなく,大部分のケースにおいて和型の最大加速度を大きく下回っている.

# c)ダボエ法(和型)

ダボ工法により補強された和型墓石の最大加速度を表-4(c)に示す.震度 6 弱と7では,無補強墓石(表-4(a))に比べ,補強による最大値の低減は確認できない.震度6強では,無補強墓石が転倒したのに対しダボ工法(和型)は転倒していないので,全てのデータにおいて無補強墓石に比べて小さい.

震度7の最大加速度を比べてみても,無補強墓石と比べてそれほど改善されているとも思えず,棹石と上台を連結するだけの補強は,大きな震度では効果が低いと考えられる.

#### d)ダボ工法(洋型)

ダボ工法により補強された洋型墓石の最大加速度 (表-4(d))は,無補強墓石(表-4(d))に比べて全体的に 小さいが,表-2の振動台の入力に比べて大きい.これは,棹石と上台がステンレス棒で連結されているだけで,運動が抑えられたわけではないためである.e)長ボルト工法

長ボルト工法により補強された和型墓石の最大加速度(表-4(e))は,無補強墓石(表-4(a))に比べて非常に小さい.全ての震度において3方向ともに表-2に示した振動台の最大加速度とほぼ同じレベルである.墓石全体が剛に連結されており,振動台と一体となって振動していて相対変位は生じていないことを意味している.連結効果が発揮されていることが確認できる.

#### f)免震金具工法

免震金具工法で補強された墓石の最大加速度を表-4(f)に示す.震度 6 弱では,全体的に無補強墓石よりやや小さい最大加速度を示している.本工法はあそびがあるため棹石はロッキング運動を起こすので,石材間が衝突して棹石は衝撃力を受ける.そのため,表-2 に示した振動台での最大加速度に比べて非常に大きな値になっており,石材の劣化の恐れがある.しかし,金具で連結しているため無補強墓石よりは運動が抑制されているので,無補強墓石よりは重動が抑制されていると考えられる.震度 6 強,7 でも転倒していないため,転倒した無補強墓石より小さな最大加速度が得られている.

#### g) 免震ゴム工法

免震ゴム工法により補強された墓石の最大加速度を表-4(g)に示す.震度 6 弱ではあるが,ゴムによりロッキング運動が増幅して棹石が転倒したため,転倒しなかった無補強墓石の震度 6 弱(表-4(a))より非常に大きな値が得られている測定値があり,補強効果は確認できない.

# h)エアーダンパー工法

エアーダンパー工法により補強された墓石の震度 6 弱での最大加速度を表-4(h)に示す.発泡シートの 影響で棹石のロッキング運動が増したため,無補強 墓石(表-4(a))に比べて全体的に大きな値を示してい おり,石材間の衝突により石材の破損の恐れがある.

# (4) 各試験体の伝達関数の比較

次に,加速度波形から振動台の入力に対する伝達 関数を求め,振動数領域における結果の比較から, 各補強工法の効果の違いを検討する.

図-14 に , 棹石の東側に設置した加速度計(図-4)で得られた震度 7 での伝達関数を示す . 免震ゴム工法とエアーダンパー工法については , 震度 6 弱の結果を示す .

#### a)無補強墓石(和型)

無補強の和型墓石の伝達関数を図-14(a)に示す. 約 4Hz 以上において増幅率が大きくなっている.約 4Hz 以上の成分は,加振を開始したころの振動数の

表-4 各試験体の棹石の最大加速度(cm/s²)

(a)無補強墓石(和型)

(b)無補強墓石(洋型)

	震度6弱	震度6強	震度7		震度6弱	震度6強	震度7
入力X	538	850	1184	入力X	536	861	1167
入力Y	492	827	1080	入力Y	488	824	1092
入力Z	331	648	589	入力Z	296	438	576
北X	8795	52875	39070	北X	1159	4044	6326
北Y	6077	37815	40225	北Y	1925	3668	16047
北Z	10592	34965	25066	北Z	2958	3466	8254
南X	7596	48641	31792	南X	1940	2855	10699
南Y	4140	42010	36674	南Y	864	3266	4420
南Z	7983	35431	34233	南Z	1853	5969	8692
東X	6163	43895	345996	東X	2881	3319	17772
東Y	8542	60067	17703	東Y	810	2938	65520
東Z	6343	23298	30687	東Z	1429	3882	7701

#### (c)ダボエ法(和型)

(d)ダボエ法(洋型)

	震度6弱	震度6強	震度7		震度6弱	震度6強	震度7
入力X	528	851	1163	入力X	536	857	1169
入力Y	489	831	1092	入力Y	490	828	1079
入力Z	302	626	858	入力Z	290	435	576
北X	5773	14885	35343	北X	998	1754	5011
北Y	5538	19050	32551	北Y	1723	2003	4566
北Z	9036	21101	433399	北Z	1822	3157	12585
南X	5297	9298	57022	南X	1696	2522	2927
南Y	4767	9985	39513	南Y	884	1291	3613
南Z	10418	20414	75891	南Z	987	1684	4370
東X	7462	13512	346384	東X	1597	2007	5635
東Y	8829	10808	35966	東Y	1007	1705	4903
東Z	11868	18716	24564	東Z	900	2236	5005

#### (e)長ボルト工法(和型)

(f)免震金具工法(和型)

	震度6弱	震度6強	震度7		震度6弱	震度6強	震度7
入力X	528	849	1190	入力X	531	832	1197
入力Y	487	828	1079	入力Y	484	829	1107
入力Z	301	424	587	入力Z	293	448	559
北X	582	893	1200	北X	3462	10623	10917
北Y	586	990	1418	北Y	6338	8894	9470
北Z	314	460	640	北Z	5936	8821	13087
南X	588	1055	1425	南X	3996	9392	12435
南Y	534	845	1141	南Y	3900	7728	10741
南Z	334	509	692	南Z	7067	11916	14759
東X	602	983	1333	東X	4442	8291	9684
東Y	614	886	1194	東Y	2768	14345	11377
東Z	330	550	737	東Z	4377	16855	12872

(g)免震ゴム工法(和型) (h)エアーダンパー工法(和型)

	震度6弱
入力X	526
入力Y	483
入力Z	291
北X	3946
北Y	20995
北Z	7215
南X	31475
南Y	6497
南Z	7678
東X	12850
東Y	4725
東Z	382826
. —	

	震度6弱
入力X	540
入力Y	487
入力Z	295
北X	10944
北Y	10233
北Z	12917
南X	8207
南Y	4790
南Z	12715
東X	8558
東Y	12176
東Z	5978

高い微振動や,石材間の衝突による衝撃を指していると考えられる.約 1Hz 以下においても増幅率が大きくなっている.約 1Hz 以下の成分は,転倒に至る前の墓石の運動が大きくなってきているときの振動

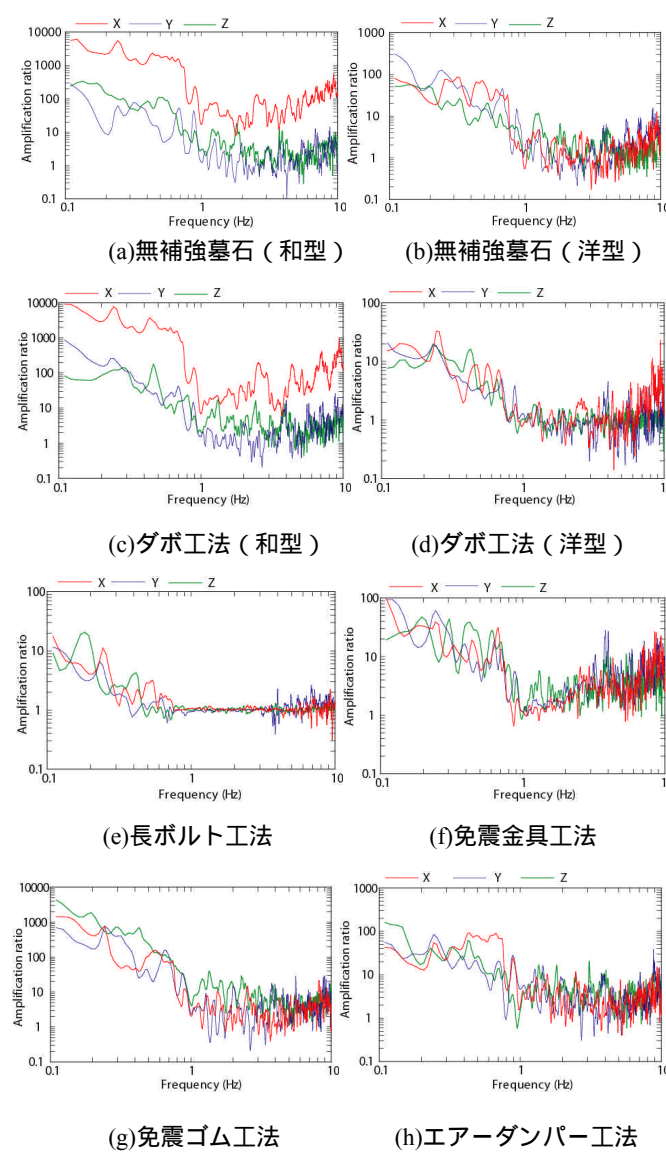


図-14 振動台に対する棹石頂点の伝達関数 (震度 7, (g)(h)は震度 6 弱)

を指していると考えられる.

# b)無補強墓石(洋型)

無補強和型墓石の伝達関数を図-14(b)に示す.約 4Hz 以上と約 1Hz 以下において増幅率が大きくなっている.幅高さ比が小さく和型墓石より倒れにくいので,無補強の和型墓石よりも増幅率は小さい値となっている.

# c)ダボエ法(和型)

ダボ工法により補強された和型墓石の伝達関数を 図-14(c)に示す.無補強墓石と同様の傾向を示して いる.増幅率に関して,無補強墓石との違いはほと んど見られず効果が確認できない.

#### d)ダボ工法(洋型)

ダボ工法により補強された洋型墓石の伝達関数を図-14(d)に示す、増幅率は 0.7Hz~4Hz においてやや1.0 に近い値を示しており、無補強の洋型墓石に比べて若干の増幅率の減少が見られる、転倒に至る前の墓石の運動を表す 0.7Hz 以下の長周期領域では、

全体的に無補強墓石の 1/10 程度の増幅率を示している.この理由は,無補強の洋型墓石が転倒したのに対し,この墓石が転倒しなかったからである.e)長ボルト工法

長ボルト工法により補強された和型墓石の伝達 関数を図-14(e)に示す、0.7Hz~4Hz において増幅率 がほぼ 1.0 に抑えられている、加振を開始したころ の振動数の高い微振動や,石材間の衝突による衝 撃を表す 4Hz 以上の振動数領域においても,ほぼ 1.0 に近い増幅率に抑えられている、大きな補強効 果が確認される、0.7Hz 以下の比較的周期の長い領 域においては,増幅率が大きくなっているが,無 補強墓石やダボエ法に比べると遥かに小さい値で ある。

伝達関数の比較においても,多くの振動数領域において長ボルト工法の効果が発揮されていることが確認された.

#### f)免震金具工法

免震金具工法により補強された墓石の震度 7 加振時の伝達関数を図-14(f)に示す.転倒に至る前の墓石の運動を表す 1.0Hz 以下の振動数において無補強墓石より増幅率が小さく,工法の効果が確認できる.しかし,約 4Hz 以上では増幅率は比較的大きな値である.この理由は,金具のあそびの範囲内での微振動や,石材間の衝突による衝撃を指している.この許した運動により,補強材料の強度が低下する恐れもあると考えられる.装置の減衰機能を高め,効率的に運動を抑えるようにすることで,工法の有効性が向上すると考えられる.

#### a) 免震ゴム工法

免震工法により補強された墓石の,転倒に至った震度 6 弱加振時の伝達関数を図-14(g)に示す. 0.7Hz 以下では,震度 7 での無補強墓石の値より大きい成分もあり,転倒に至る前の墓石の運動が大きくなっているときの振動の激しさが確認され,運動を抑えるどころか増長させてしまったことが分かる

#### h)エアーダンパー工法

エアーダンーパー工法により補強された墓石の震度 6 弱における伝達関数を図-14(h)に示す.ほぼ全ての振動数において長ボルト工法の震度 7 での伝達関数より大きく,0.7Hz 以下において免震金具工法の震度 7 での伝達関数より大きい.

最後に , 墓石のロッキング運動の卓越振動数について考察する . 転倒に至った墓石では約 1Hz 以下に大きな増幅が見られ , 約 1Hz 以下の成分が転倒に至るロッキング転倒に関与しているものと考えられる .

#### 5. 結論

本研究では,連結・免震補強された和型・洋型墓石の地震時挙動と耐震補強効果を調べるために,実

寸大模型を用いた3次元振動台実験を行った.得られた結論は以下の通りである.

- 1) ダボ工法は,棹石と上台を連結するだけであり, 大きな震度では棹石と上台が一体となって転倒 してしまう.上台・中台・芝台間の補強効果も 併せて行う必要がある.
- 2) 長ボルト工法のように,全体を連結した工法では,いずれの震度においても転倒防止に成功し,効果が確認された.
- 3) 免震金具工法は,減衰効果を有する免震金具で石材間を連結する工法であり,震度7の地震動を経ても転倒に至らず補強効果が表れていた.墓石の運動の発生を押さえるというよりも,発生した運動を低減させることと残留変位を抑えることを重視したものであり,ロッキング運動を許容するため,石材同士の衝突による石材の損傷,および補強部材の破損が課題となると考えられる.
- 4) 免震ゴム工法は,面と面との間に衝撃吸収剤を 敷く工法である.一度発生したロッキング運動 を抑制する効果は少なく,またゴムによって反 発力が発生し,ロッキング運動を助長してしま い効果が確認できなかった.墓石の振動低減に 効果的な緩衝材の設計を選択する必要があると 考えられる.
- 5) エアーダンパー工法は、ステンレス棒に粘りを持たせ、ダンパー機能を発揮させることによってロッキング運動を低減しようとしたものである、震度 6 弱の地震動に対しては転倒せず耐えたが、発泡シートの影響で棹石のロッキング運動が増し、それに対するステンレス棒の振動抑制効果は確認できなかった、改善策として、ステンレス棒の剛性を大きくしたりダンパー機能を高めることで補強効果が発揮される可能性があると考えられる.

以上により、ダボ工法は強い震度において効果が

小さいこと,免震ゴム工法とエアーダンパー工法は 改善が必要であること,長ボルト工法と免震金具工 法に補強効果があることが立証された.長ボルト工 法と免震金具工法はそれぞれの治具による効果が発 揮されて意味を持つ工法であるので,補強部材の劣 化に関する検討が今後の課題になると考えられる.

#### 謝辞

本研究は,日本石材産業協会の平成 17 年度委託研究費を得て執り行われたものである.補強工法の説明においては,詳細なアドバイスを得た.協会各位に厚く御礼申し上げます.

# 参考文献

- 1) 金子美香,林康裕:剛体の転倒率曲線の提案, 日本建築学会構造系論文集,Vol.536,pp.55-62, 2000.10.
- 2) 古川愛子,清野純史,三輪滋:物理シミュレーションによる兵庫県南部地震時の墓石の転倒メカニズムの解明,地域安全学会,No.7,pp.221-230,2005.11.
- 3) 林康裕,北原昭男,平山貴之,鈴木祥之:2000 年鳥取県西部地震の地震動強さの評価,日本建築学会構造系論文集,Vo;.458,pp.35-41, 2001.10.
- 4) 山本哲朗,鈴木素之,竹田直樹:振動台における地震時の墓石挙動,土木学会地震工学論文集, Vol.27,2002.
- 5) 日本石材産業協会:地震に強いお墓の報告書 実験編,2006.
- 6) 日本道路協会:道路橋示方書・同解説 耐震設計 編, 2002
- 7) 日本電信電話公社:通信装置等の耐震試験方法, 1998.12.

(2007.4.6 受付)

# EXPERIMENTAL STUDY ON SEISMIC PERFORMANCE OF GRAVESTONES WITH INTERLOCKING REINFORCEMENT AND SEISMIC ISOLATION SYSTEM

# Junji KIYONO, Shigeru MIWA and Aiko FURUKAWA

Gravestones are easy to overturn during an earthquake. Recently, many reinforcement measures have been developed to prevent gravestones from overturning. In this study, we focus attention on the reinforcement measures using interlocking reinforcement and seismic isolation system. 3-dimensional shaking table tests were done in order to investigate the seismic behavior of the gravestones with the reinforcement. Full-scale Japanese-type and European-type gravestones were tested, and seismic waves with seismic intensity of 6-, 6+ and 7 were used as input ground motions. Effectiveness of reinforcement measures was discussed based on the pictures and acceleration measurements.